

圖4-2-51 Bongor盆地之演化，與Doba盆地相似。

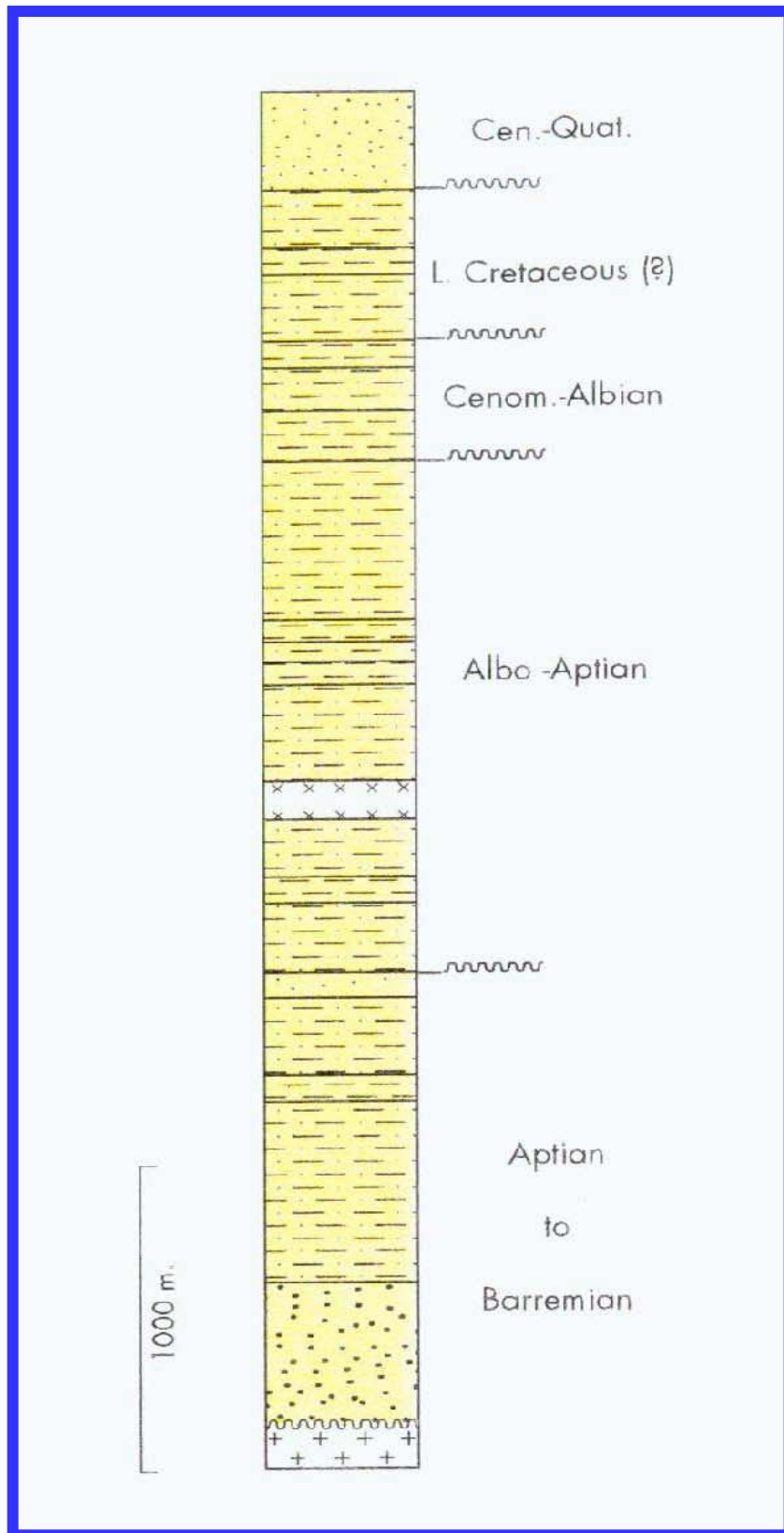


圖4-2-52 Bongor盆地之儲油岩為由湖相及河流相砂岩組成。

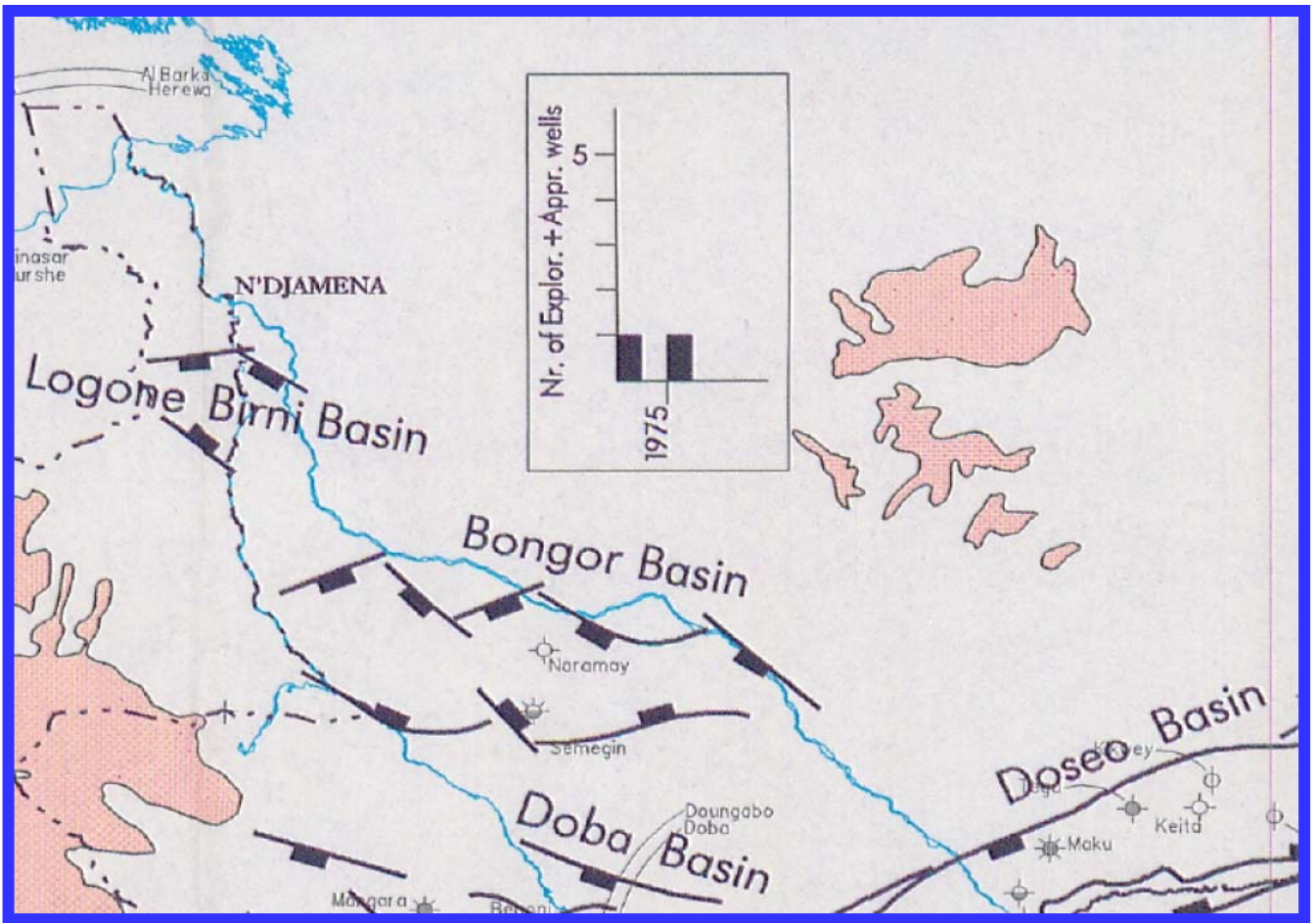


圖 4-2-53 Bongor盆地內所鉆探之二口井；正斷層所形成之構造為Bongor盆地之探勘構造標的。

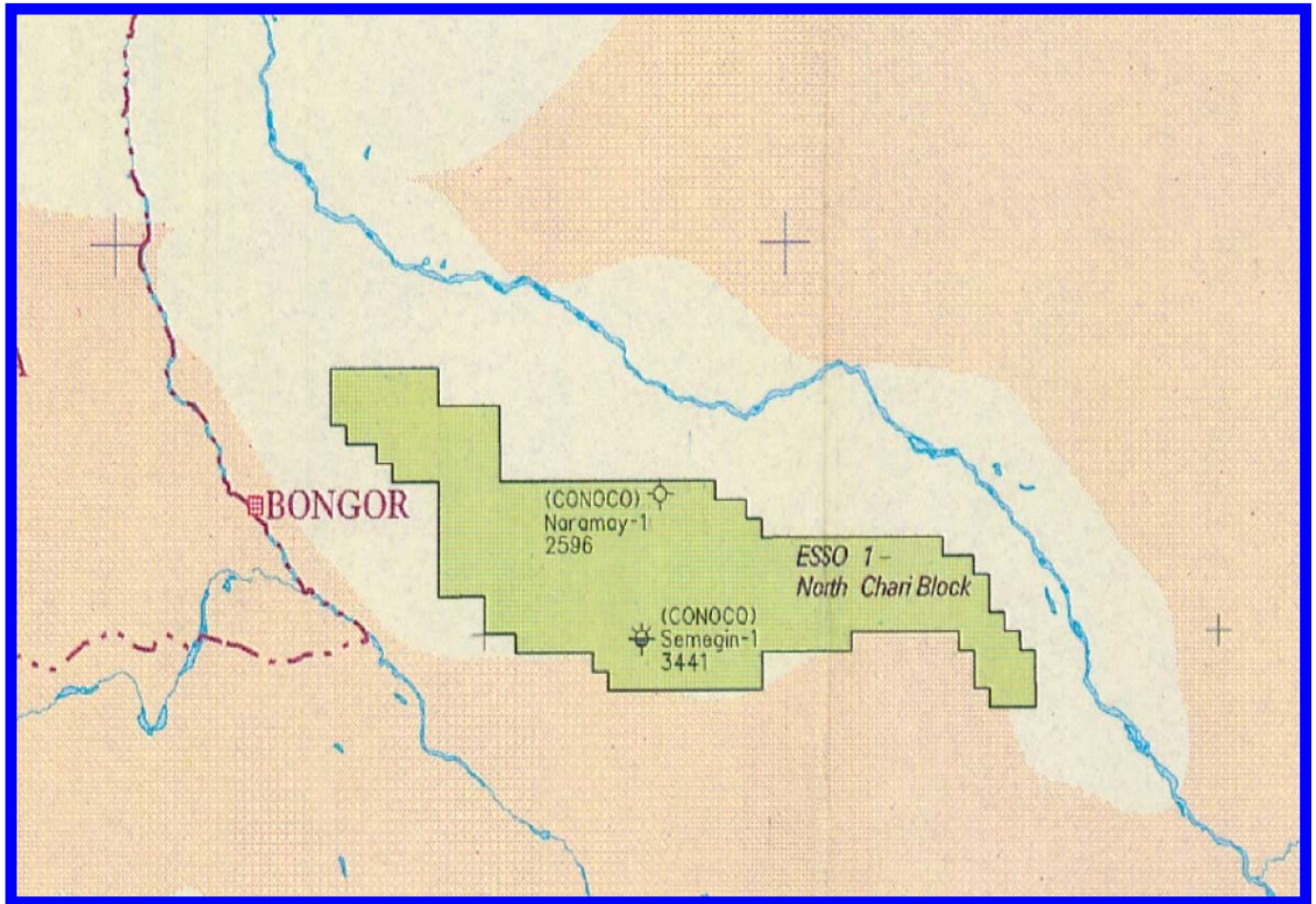


圖4-2-54 Bongor 盆地為 Esso 所經營

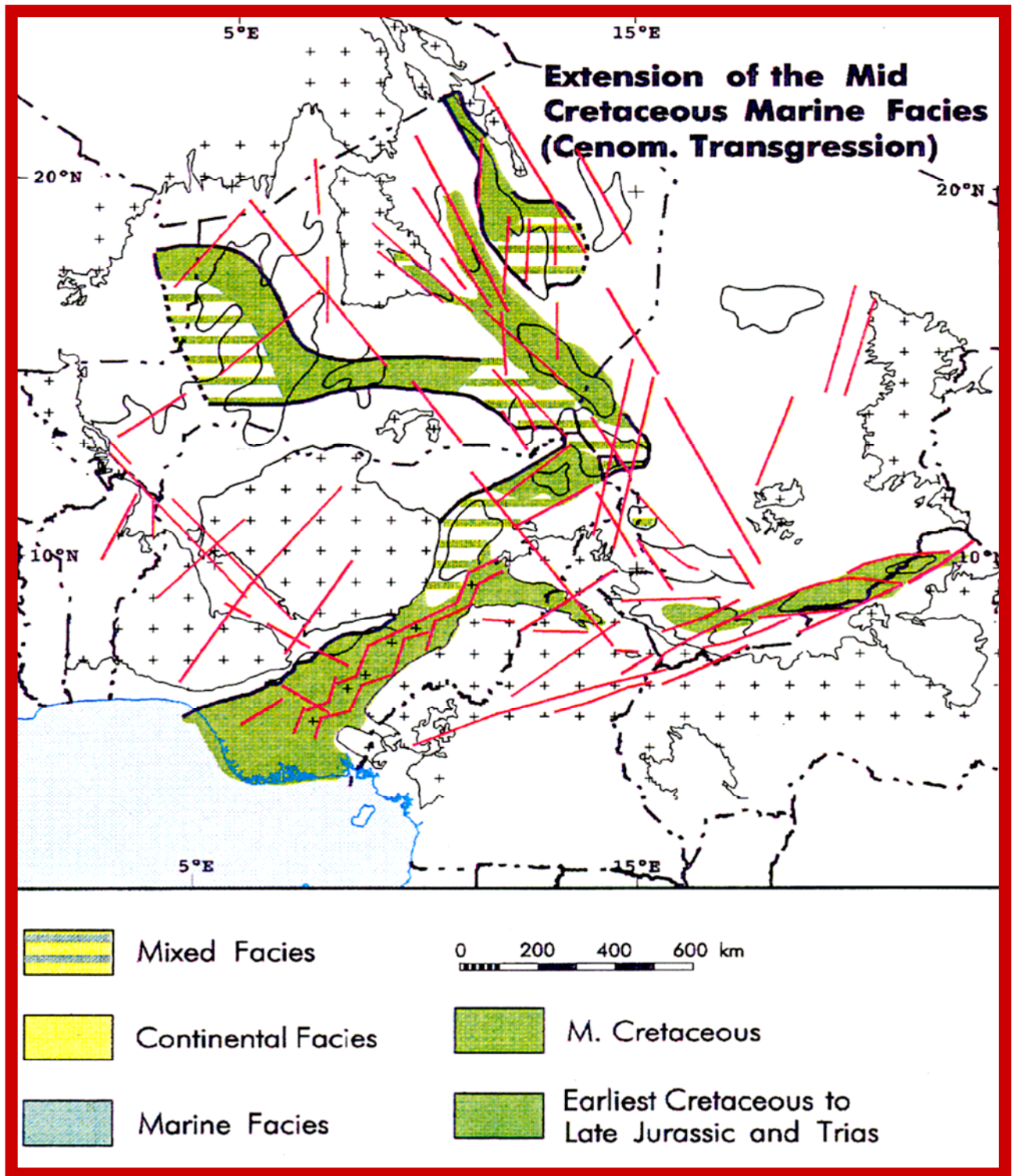


圖4-2-55 查德南部盆地之大地地質構造方向與特徵，影響了位於其上之盆地之地質結構與特徵。

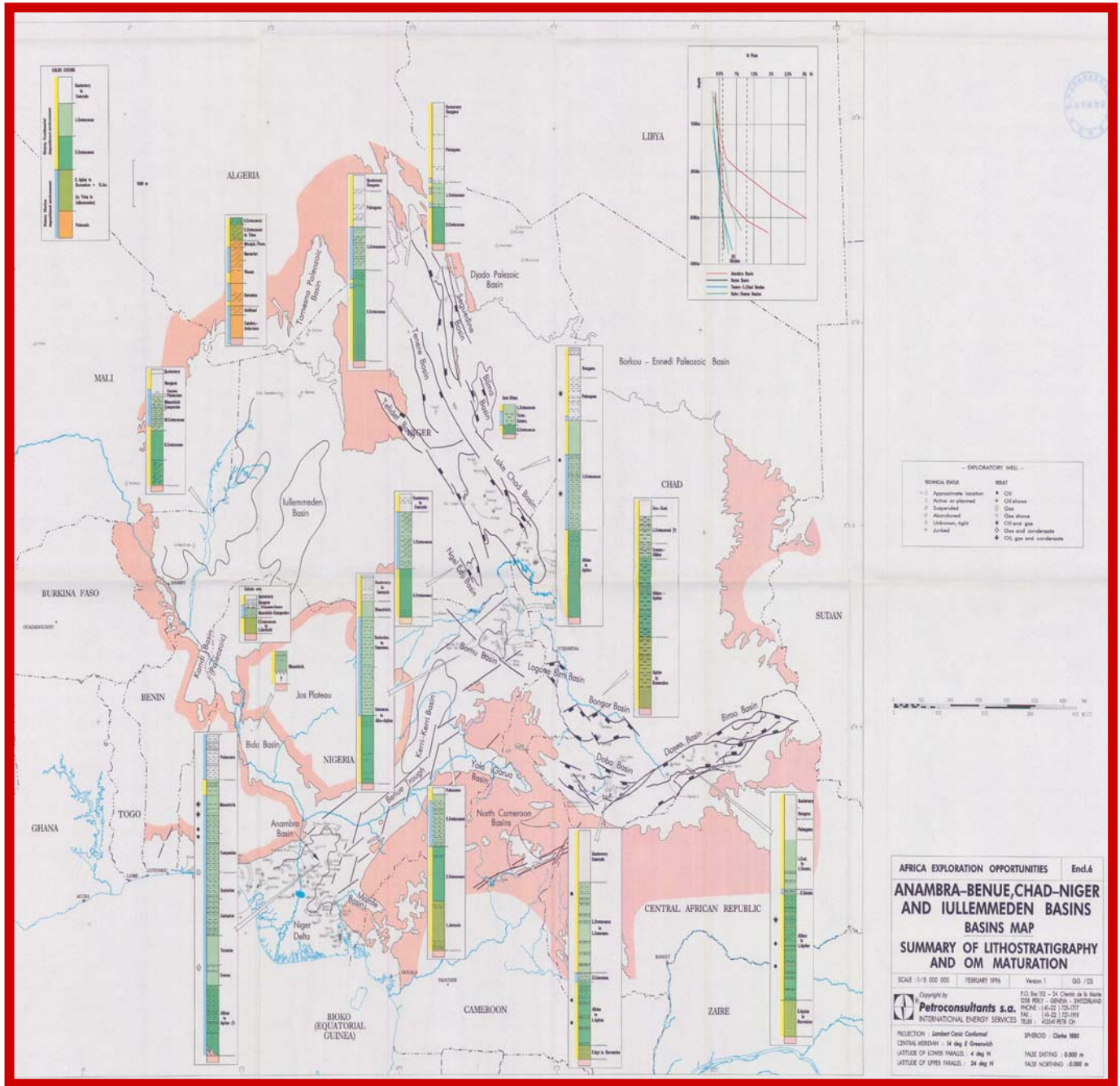


圖4-2-56 查德南部盆地之地層沈積與岩相

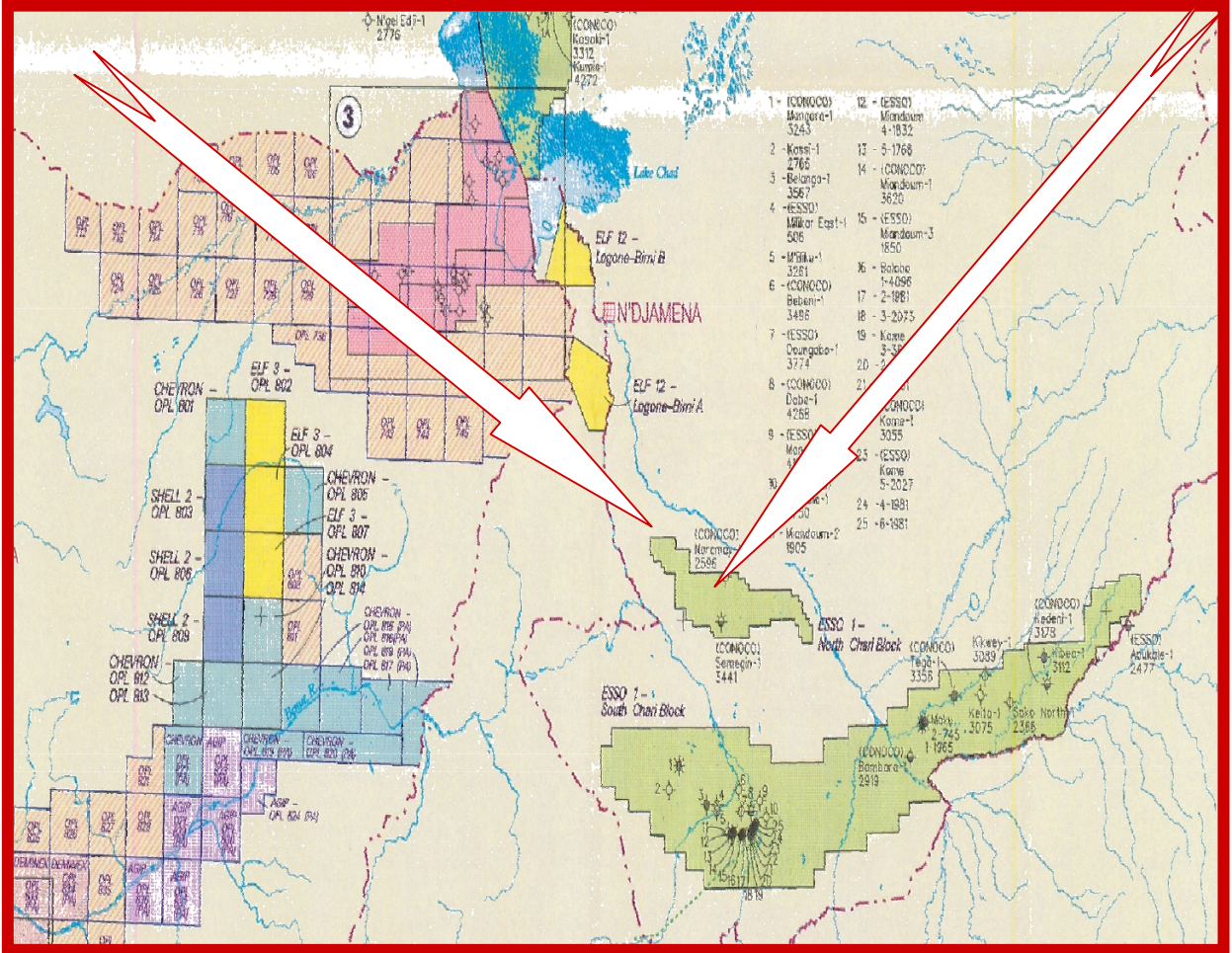
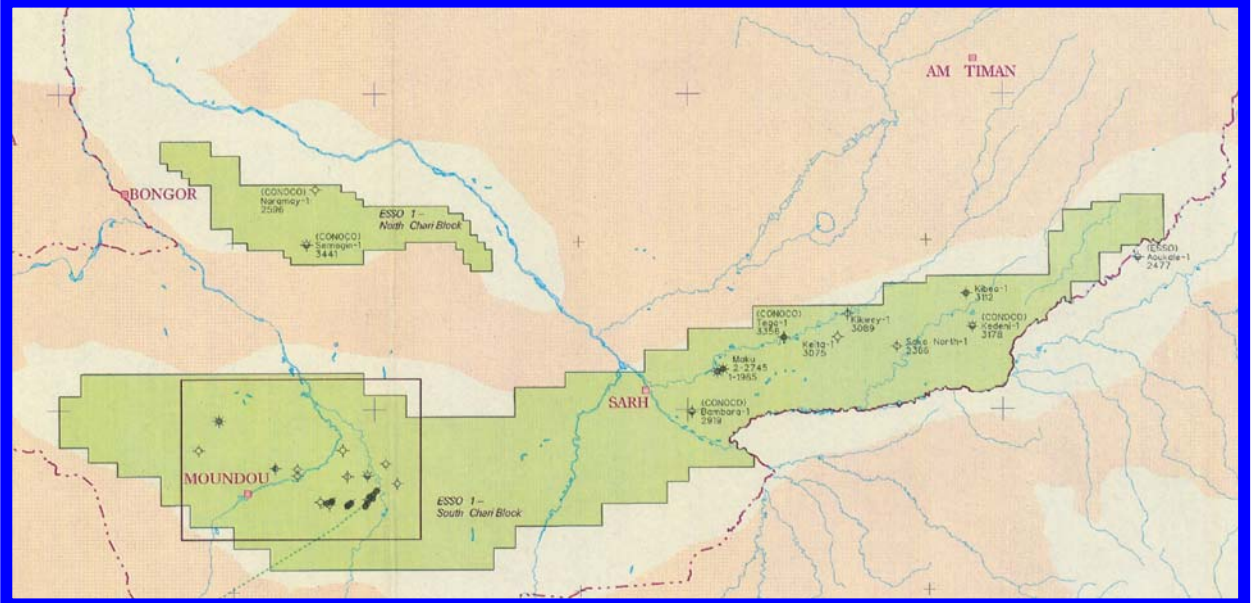


圖4-2-57查德盆地內尚有諸多構造尚未探勘，為一探勘密度不高之地區。

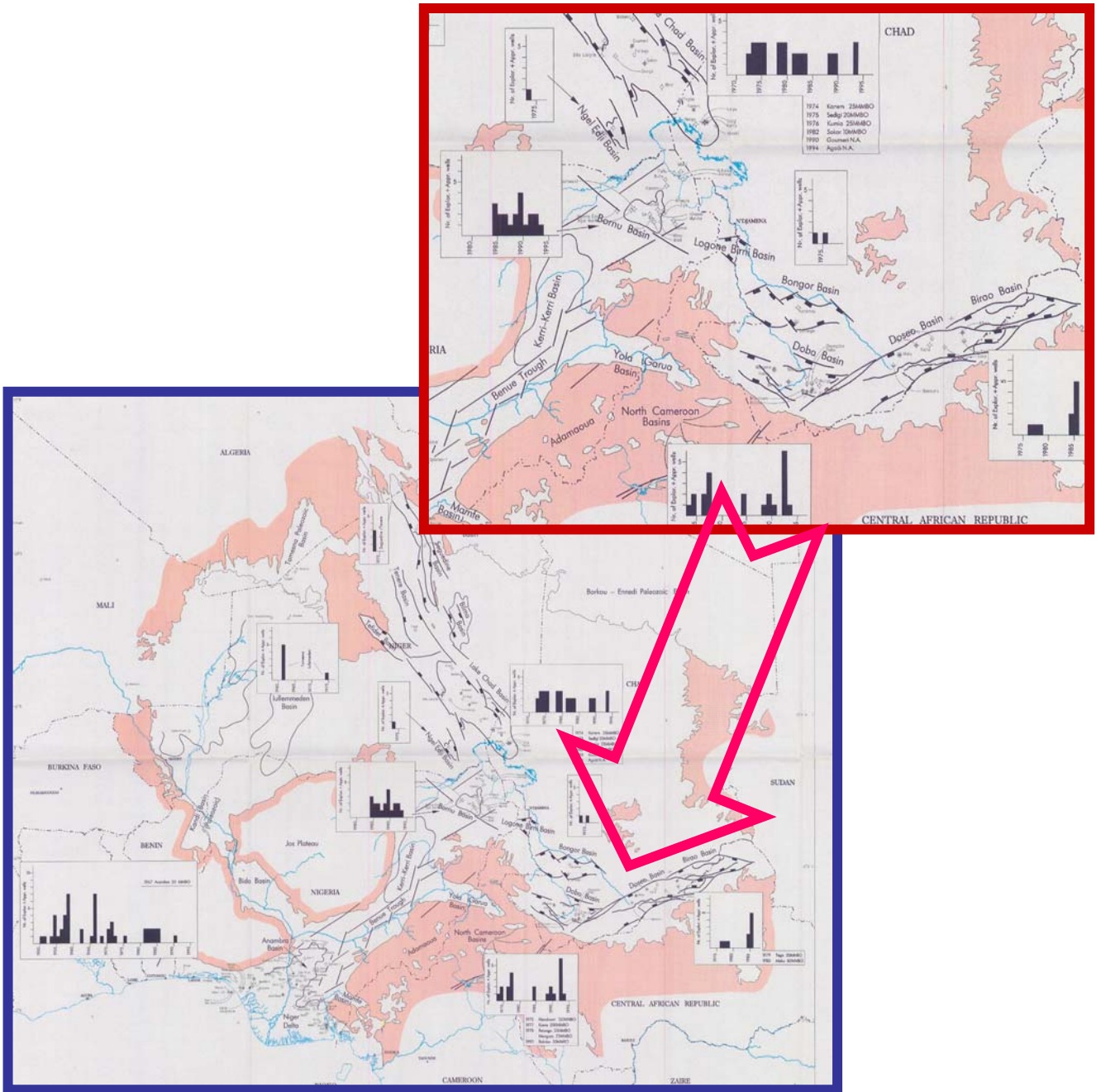


圖4-2-58 Doba-Doseo及Bongor盆地，已有油氣發現，其油氣潛能尚高。而此等盆地現為各大石油公司所據，但由於此等盆地之構造條件佳，因此留意原有經營者擬退出之礦區，或其周圍尚有機會進入探勘。

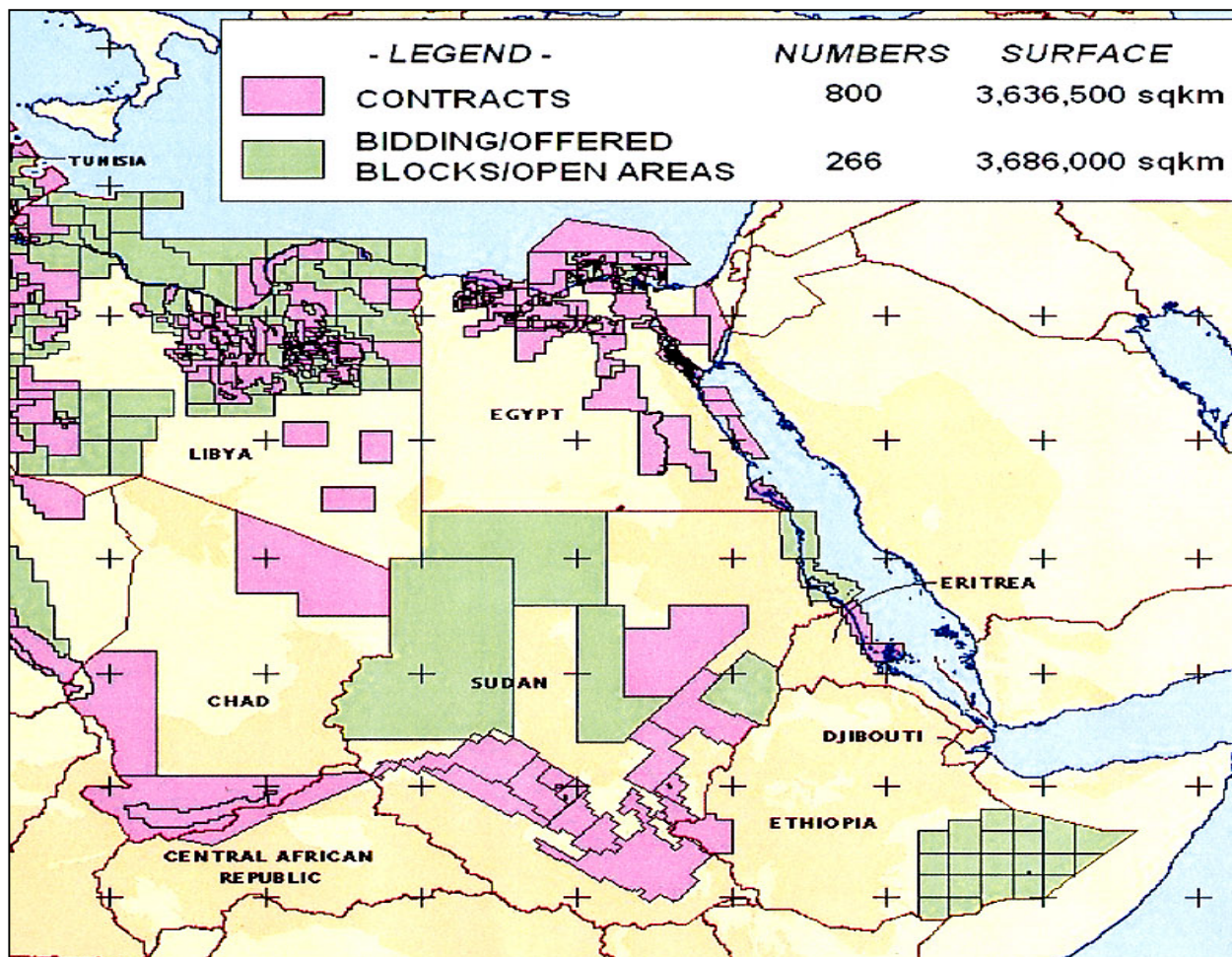


圖4-2-59查德盆地附近打開放之礦區。

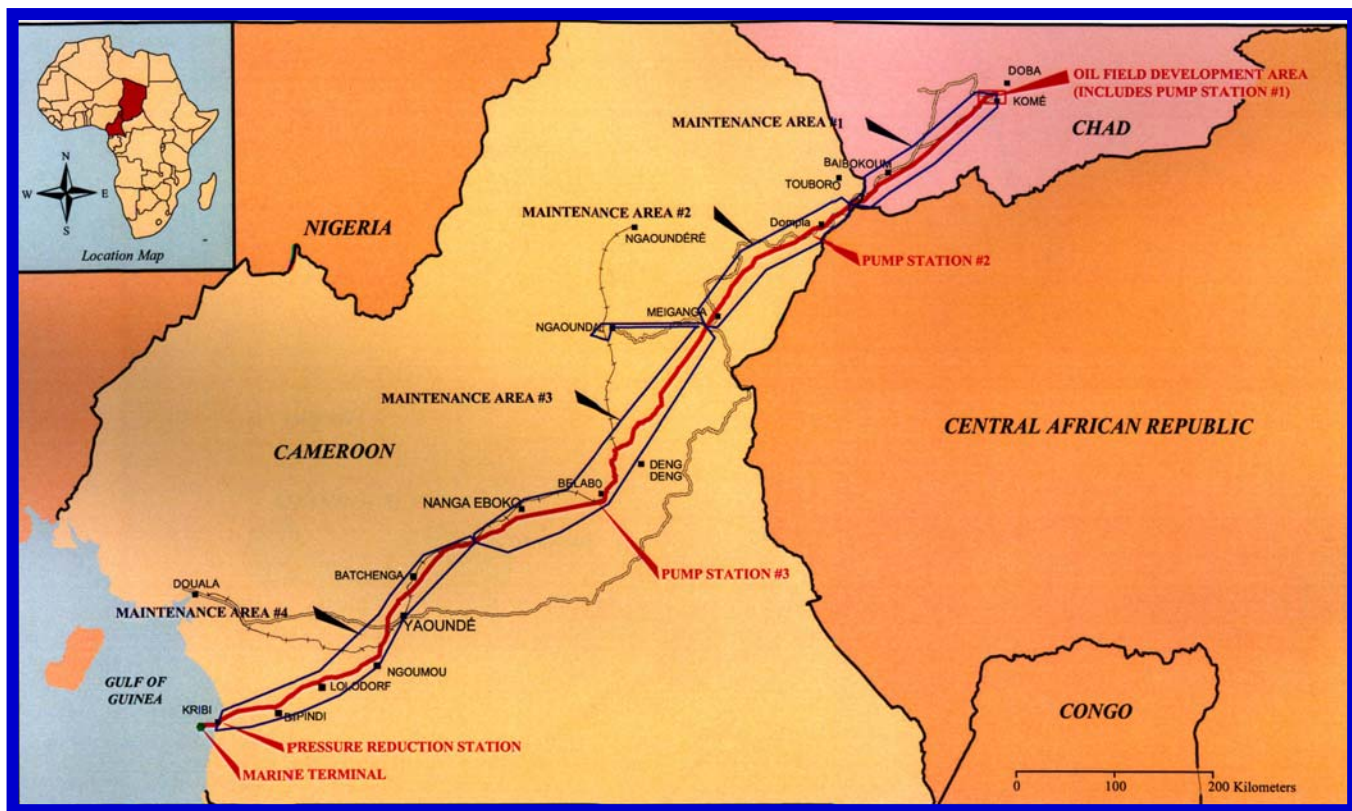


圖4-2-60 Doha及Doseo盆地內之油氣已有管線經Cameron境內到達大西洋。查德南邊之盆地附近之油氣發現，可利用此管線運送出口，無形中可節省探勘及開發成本，而增加探勘機會。



圖 4-3-1 非洲大陸地理位置、國家及盆地分佈圖

(橙色表示國家界限；綠色表示盆地位置；白色表示非洲地盾)

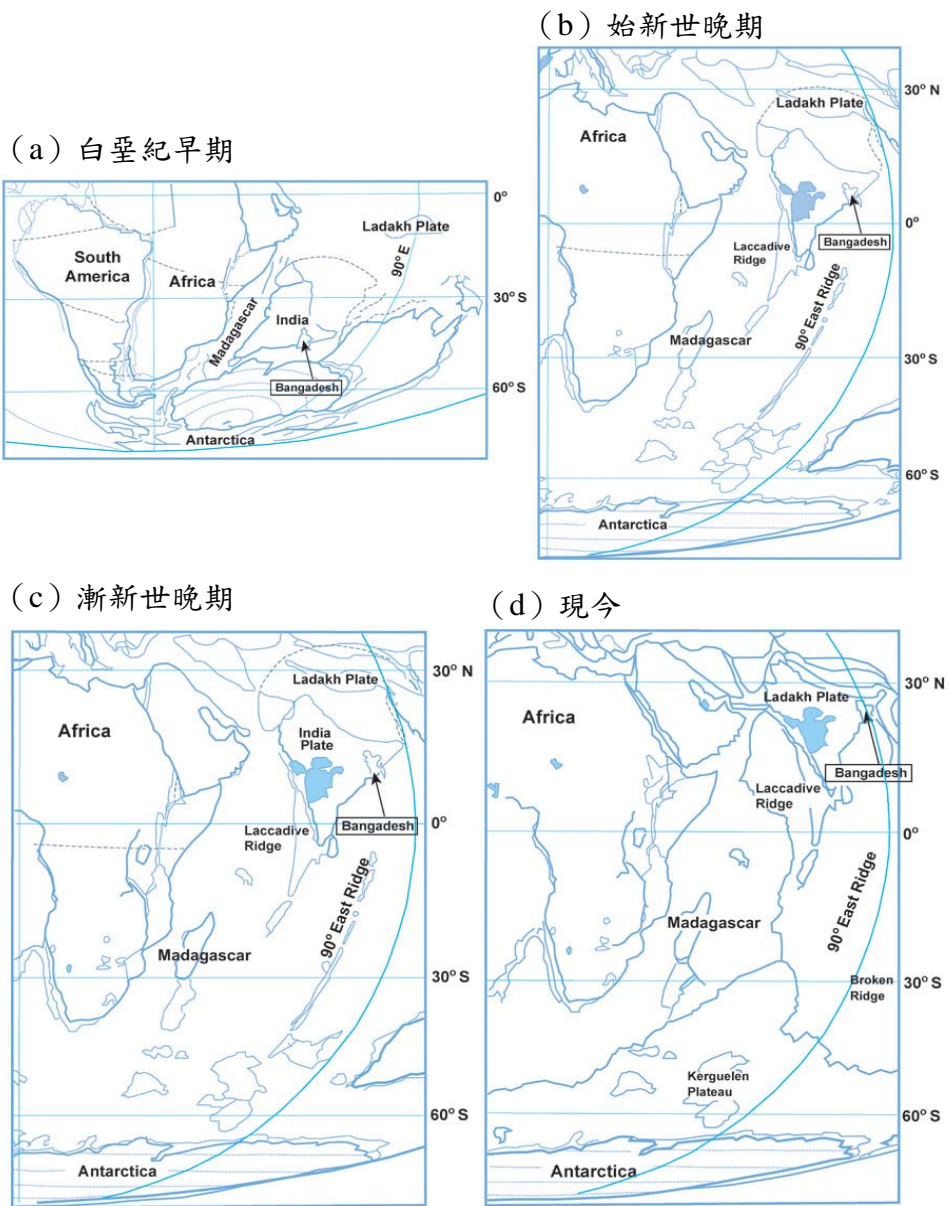


圖 4-3-2 東非洲、印度半島及印度洋的構造演化(Curiales et al., 2002)

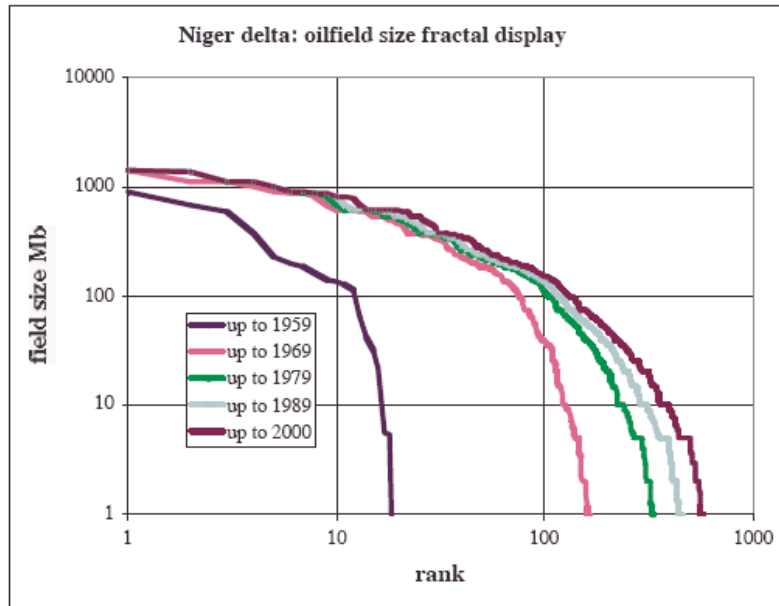


圖 4-3-3 尼日三角洲油田面積及數量分佈圖(Laherrere,2001)

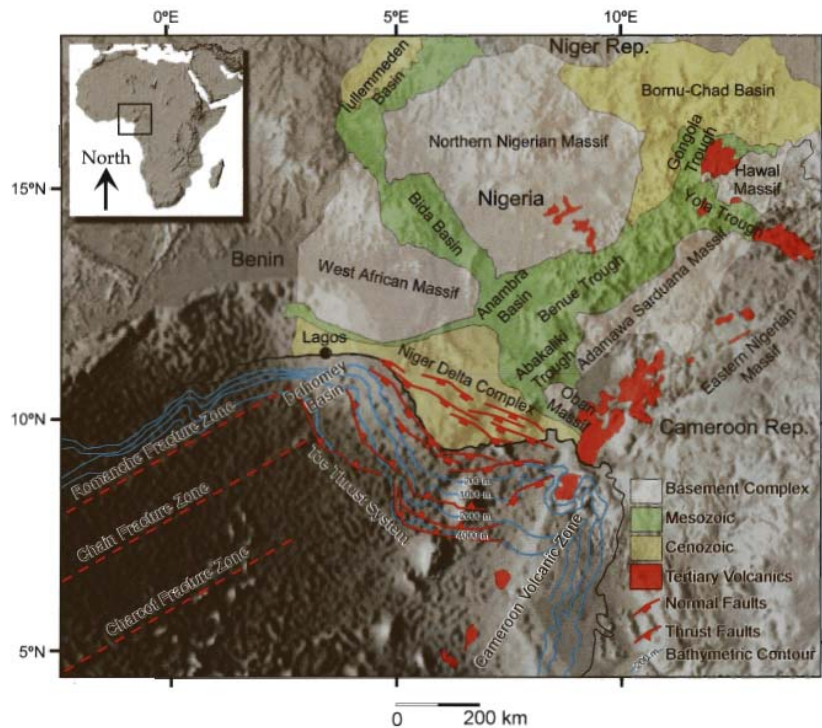


圖 4-3-4 尼日三角洲之位置顯示沈積盆地與構造現象該地質圖修正自 Onuoha(1999)。

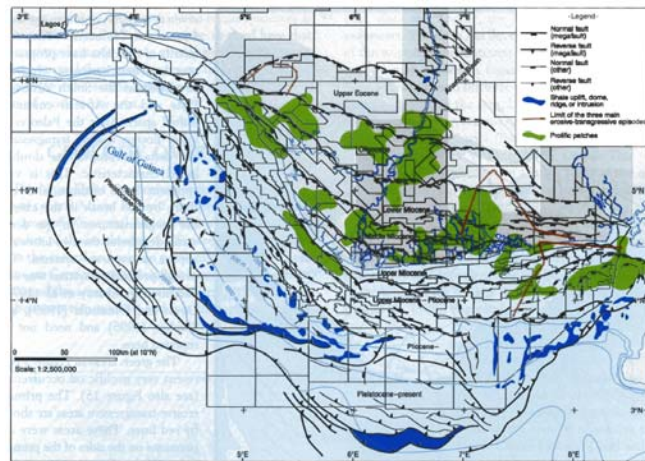


圖 4-3-5 奈及利亞尼日三角洲構造圖表現沈積變形帶與年代 (Saugy and Eyer, 2003)

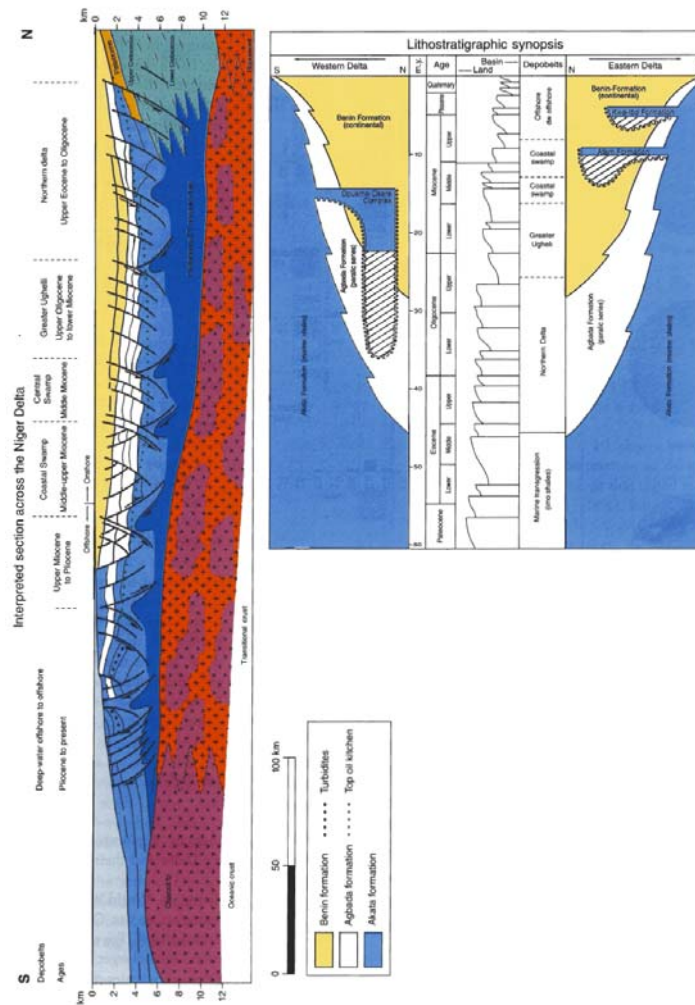


圖 4-3-6 奈及利亞尼日三角洲的一般傾角方向之剖面與成因及解釋用的柱狀圖 (Saugy and Eyer, 2003)

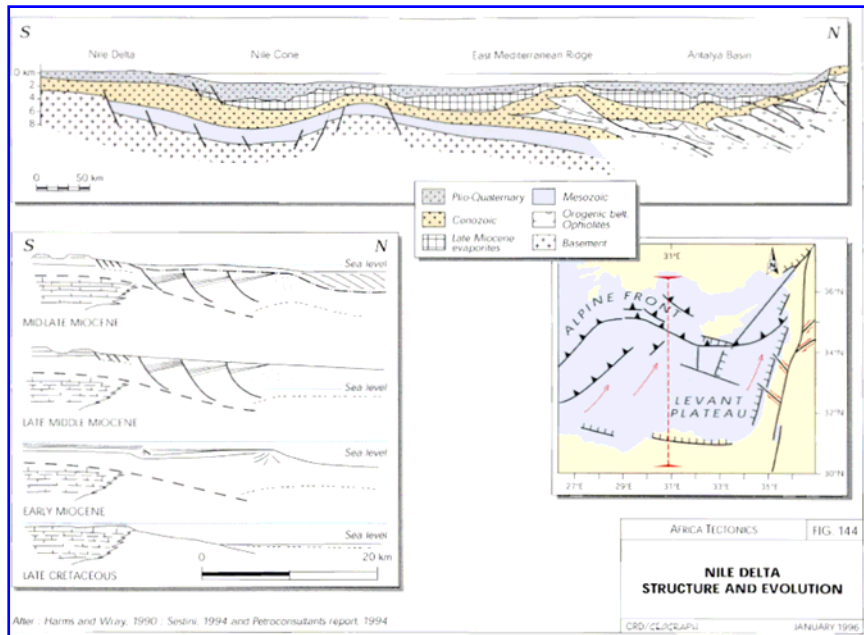


圖 4-3-7 尼日三角洲的構造與演化 (資料來源：HIS ;Harms and Wray,1990 ; Sestini,1994 及 Petroconsultants report,1994)

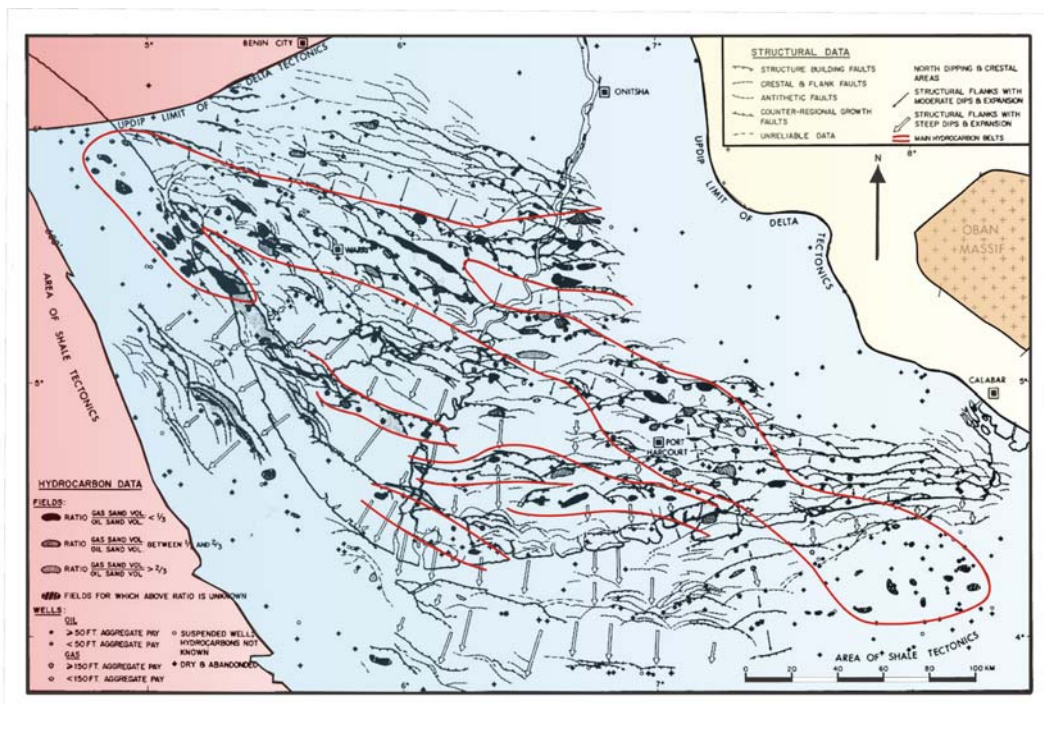
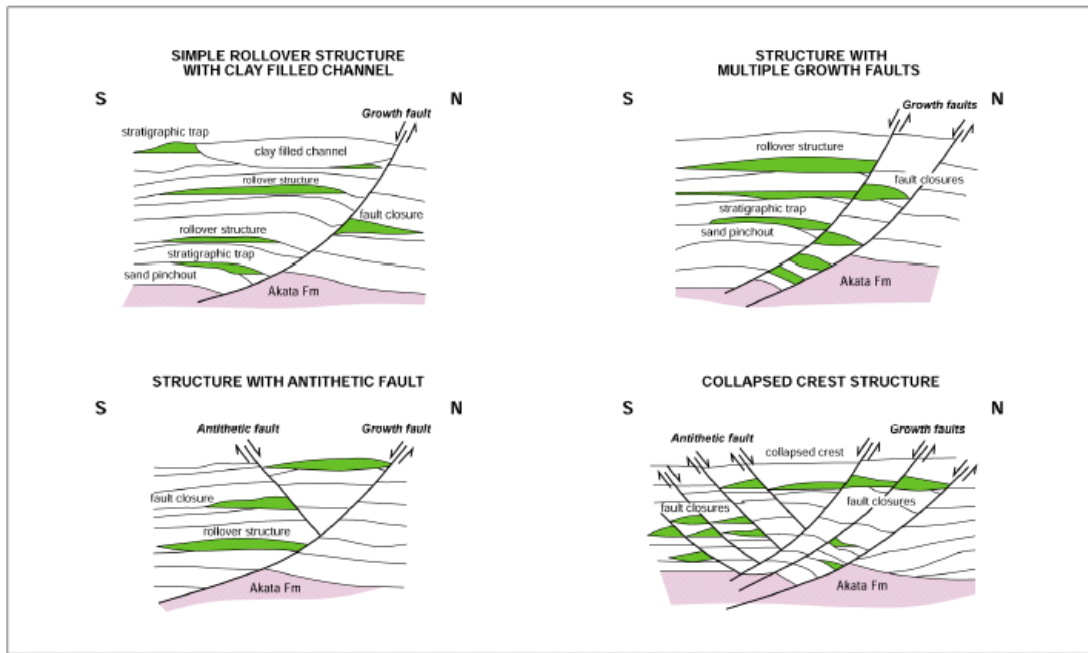


圖 4-3-8 尼日三角洲構造型態與碳氫化合物之分



Modified after: Doust & Omatsola (1990) & Stacher (1995)

圖 4-3-9 尼日三角洲的油氣封閉型態 (資料來源：IHS)。

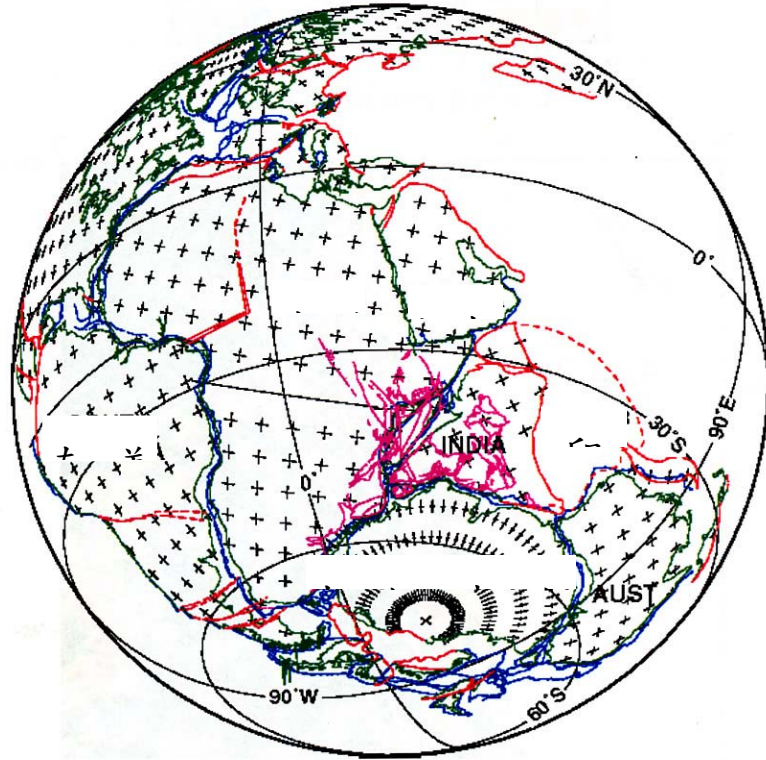


圖 4-4-1 200 百萬年前板塊重建顯示古地中海油氣儲聚在非洲地區與中東阿拉伯同俱極高潛能 (lawver et.al,1998)

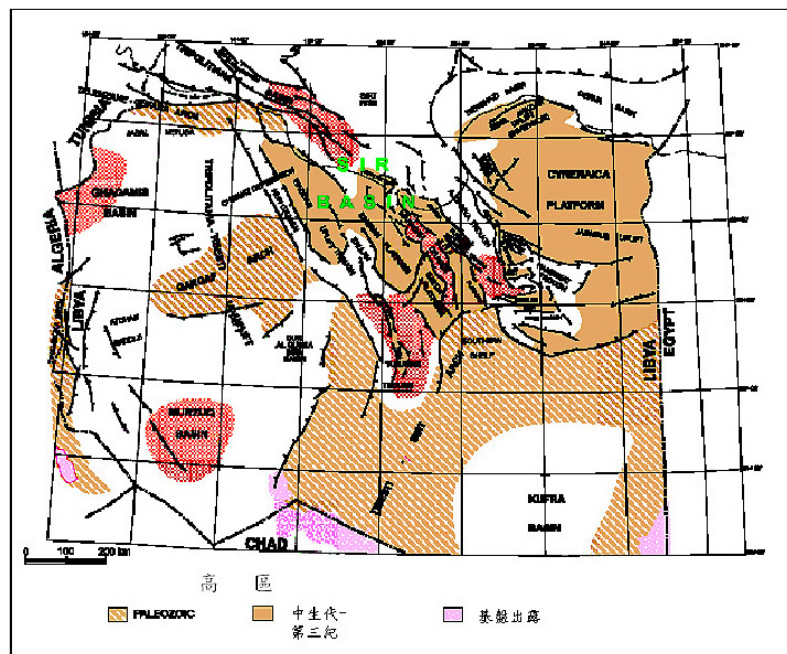


圖 4-4-2 利比亞主要沉積盆地及大地構造圖

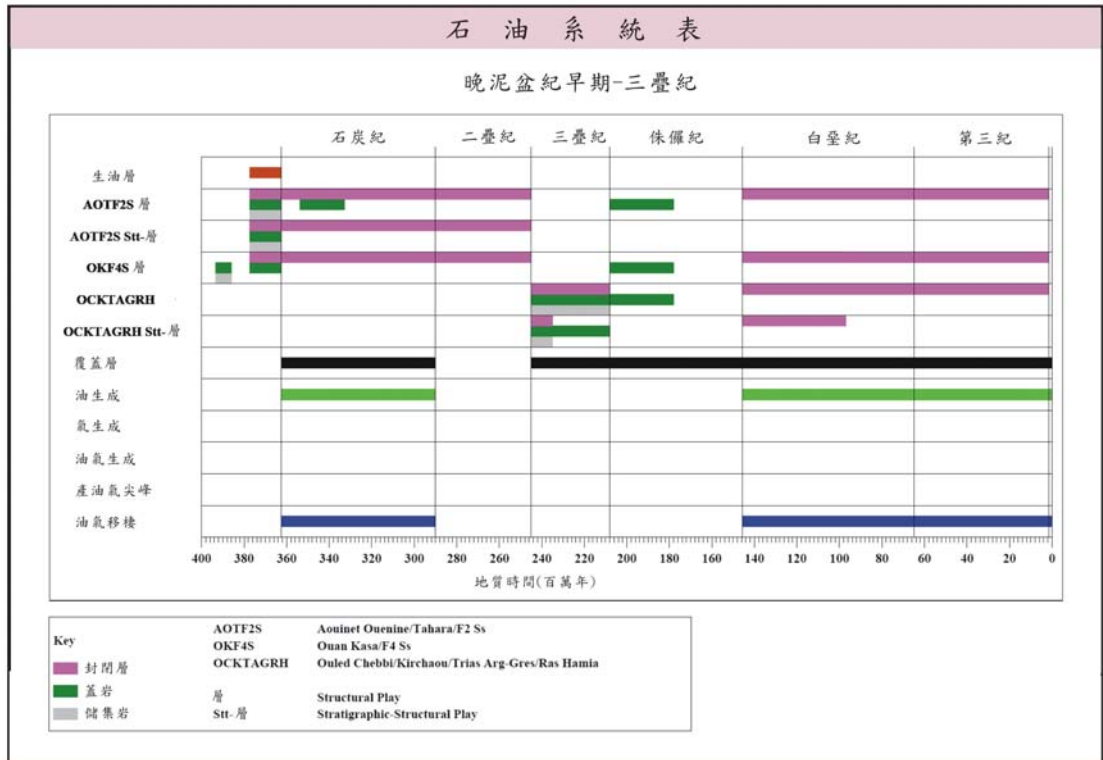


圖 4-4-3 Ghadames 盆地之石油系統一。

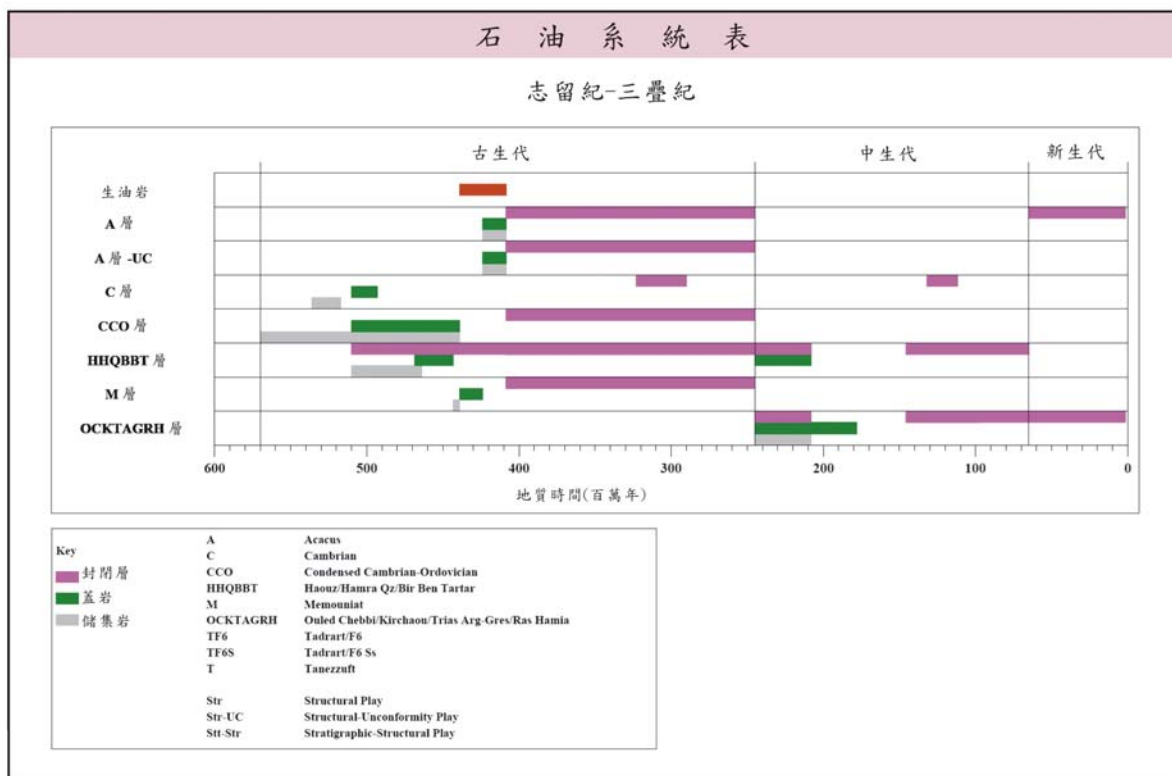


圖 4-4-4 Ghadames 盆地之石油系統二。

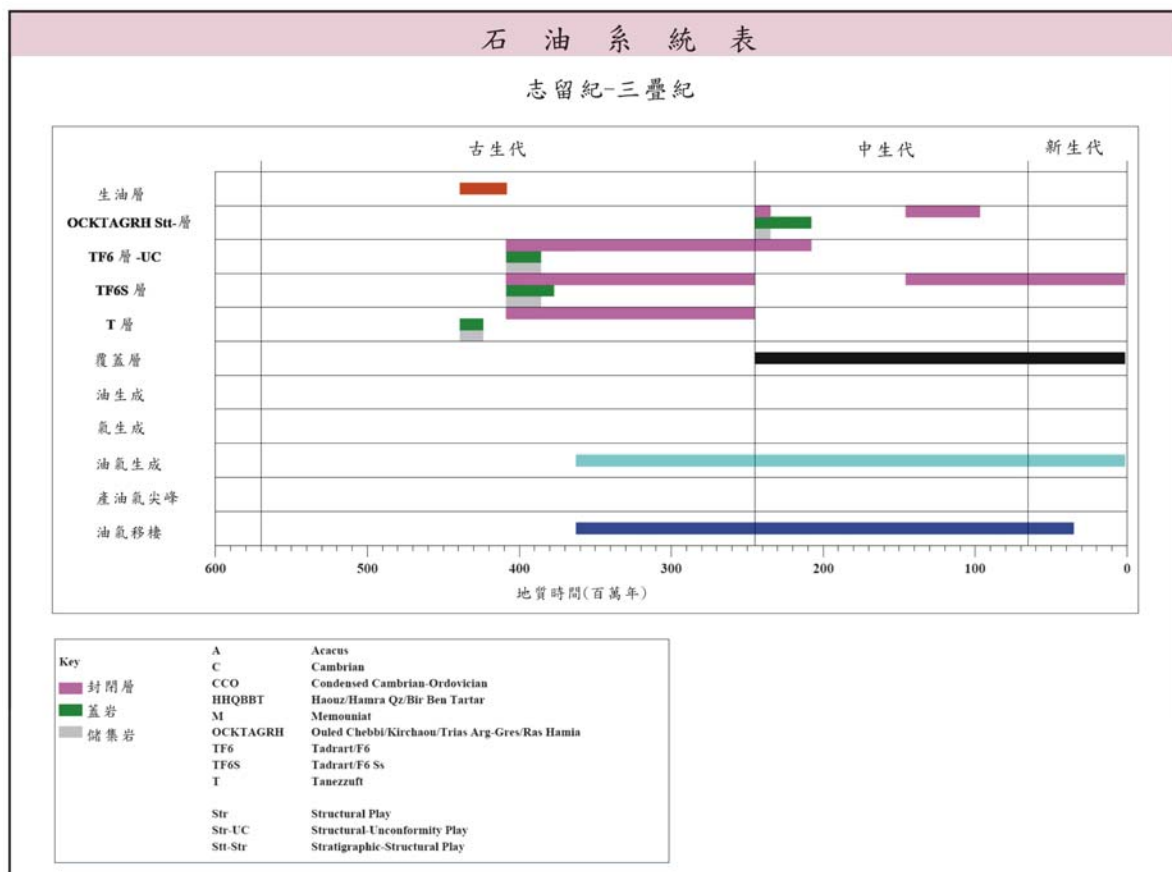


圖 4-4-5 Ghadames 盆地之石油系統三。

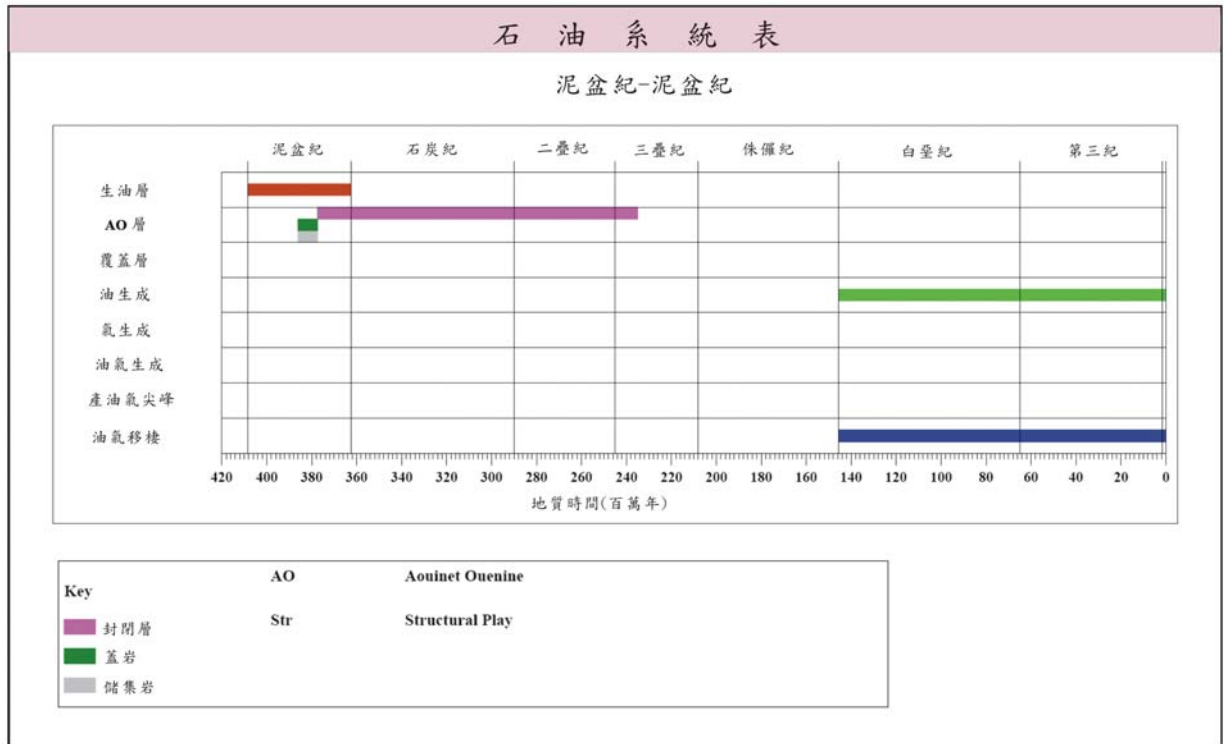


圖 4-4-6 Murzuq 盆地之石油系統一

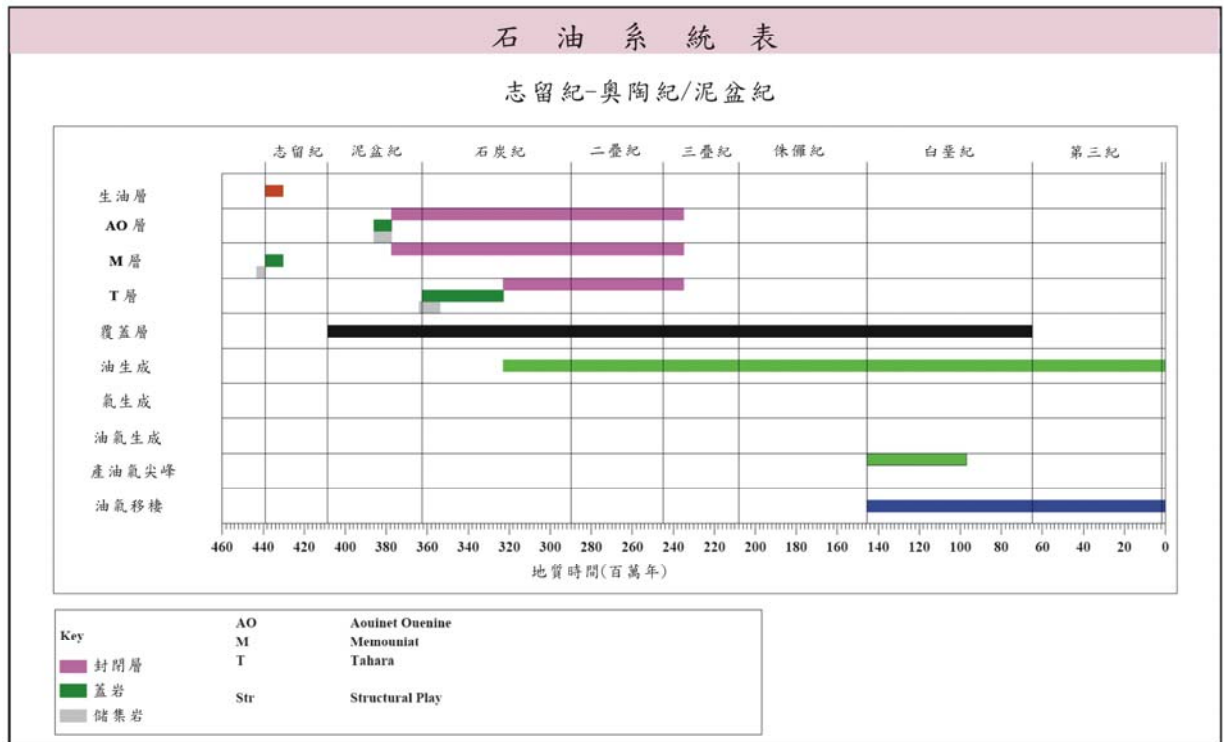


圖 4-4-7 Murzuq 盆地之石油系統二